

Algorytmy numeryczne

Zadanie 2

Działania na macierzach

Działania na macierzach zostały przeprowadzone przy użyciu języka Java oraz języka C++, z użyciem biblioteki Eigen. W macierzy znajdowały się losowe liczby ograniczone typem double z przedziału $<0.0, 10.0>$

Testy przeprowadzono dla 3 wzorów:

- $A \cdot X$
- $(A+B+C) \cdot X$
- $A \cdot (B \cdot C)$

Litery A, B, C to macierze kwadratowe, a X to wektor. Użyto 3 typy zmiennych:

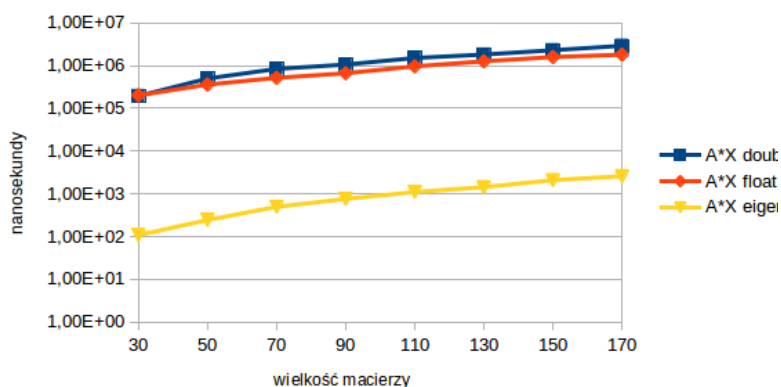
- double
- float
- typ własny (nie tracący dokładności)

Sprawdzone został również wpływ rodzaju eliminacji Gaussa:

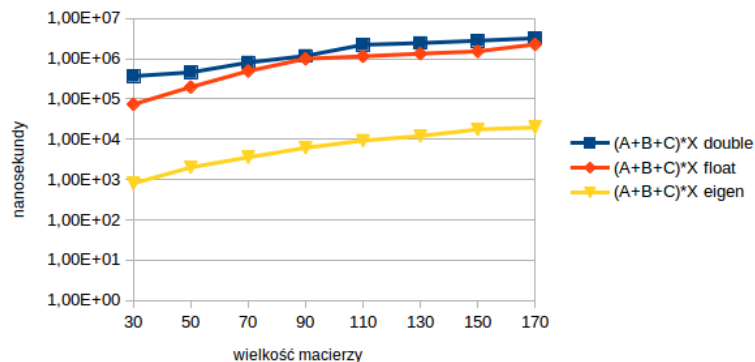
- bez wyboru elementu podstawowego,
- z częściowym wyborem elementu podstawowego,
- z pełnym wyborem elementu podstawowego

Na poniższych wykresach zaprezentowane są różnice w czasach dla 3 powyższych działań.

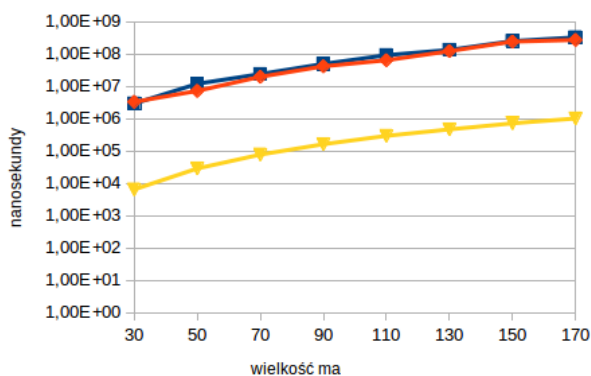
Różnica czasu obliczeń



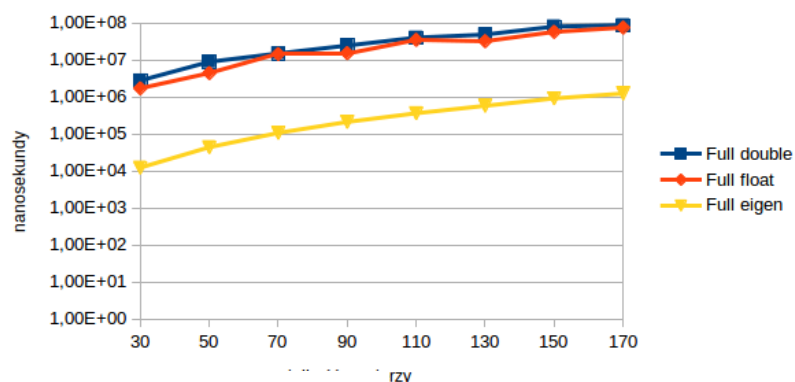
Różnica czasu obliczeń



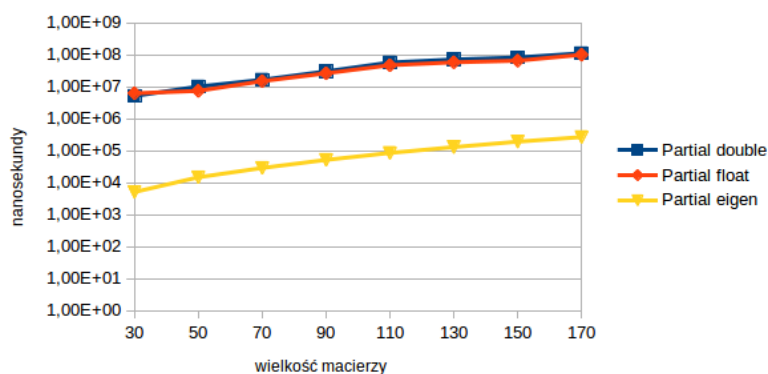
Różnica czasu obliczeń



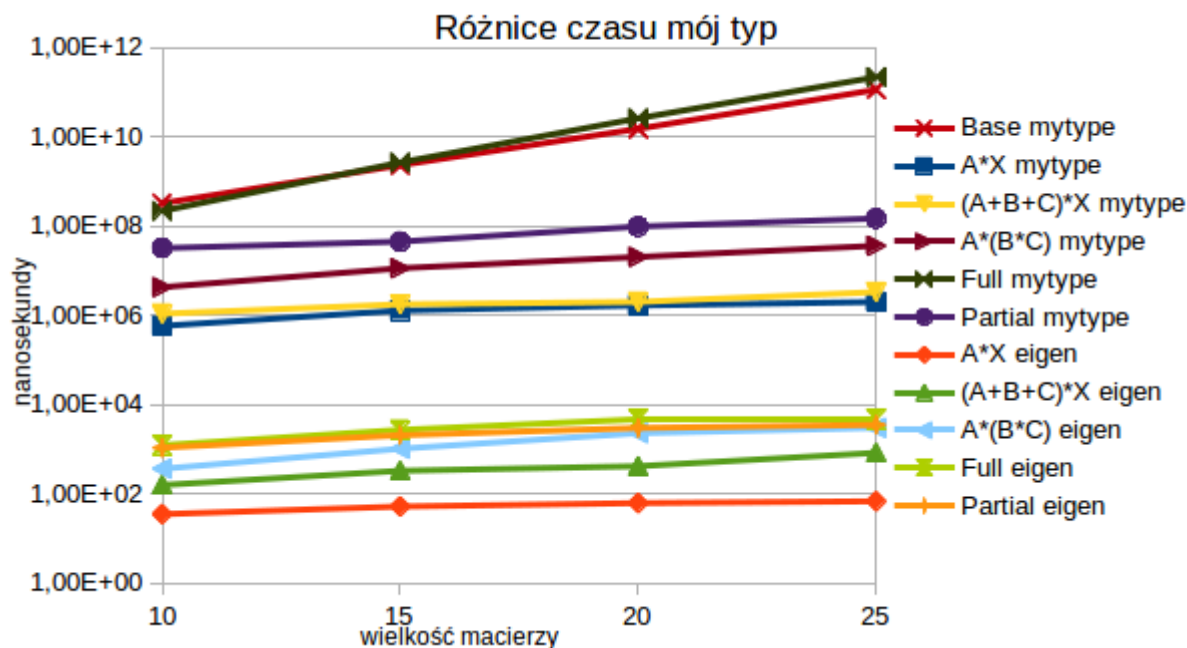
Różnice czasu równań liniowych Gaussa



Różnice czasu równań liniowych Gaussa



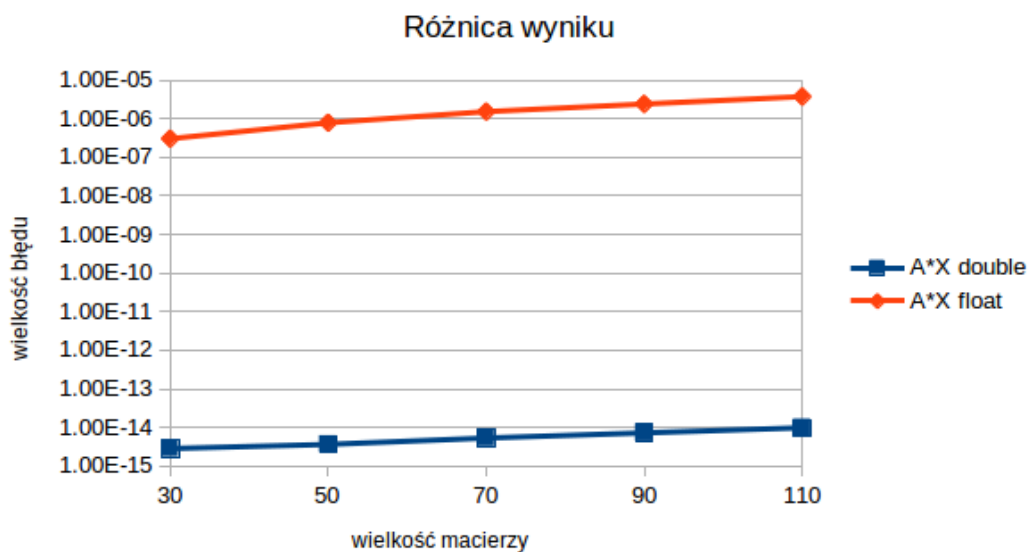
Podczas wykonywania pomiarów, zdecydowanie najwolniejszym sposobem okazał się typ własny, który nie traci dokładności. Jak widzimy na wykresie poniżej, nawet dla 10 RAZY mniejszej macierzy, wyniki czasu są jeszcze większe niż dla typów double czy float. Obliczanie przy użyciu biblioteki EIGEN pozostaje bezkonkurencyjne.



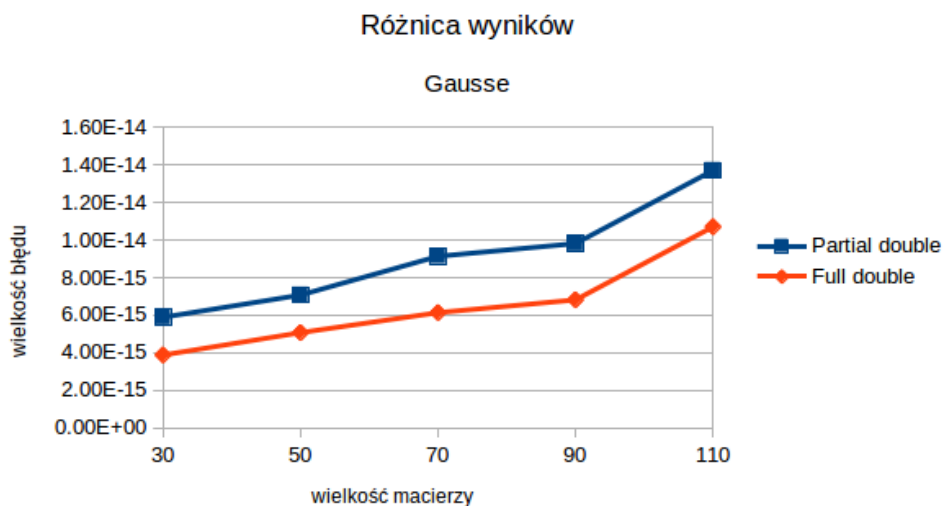
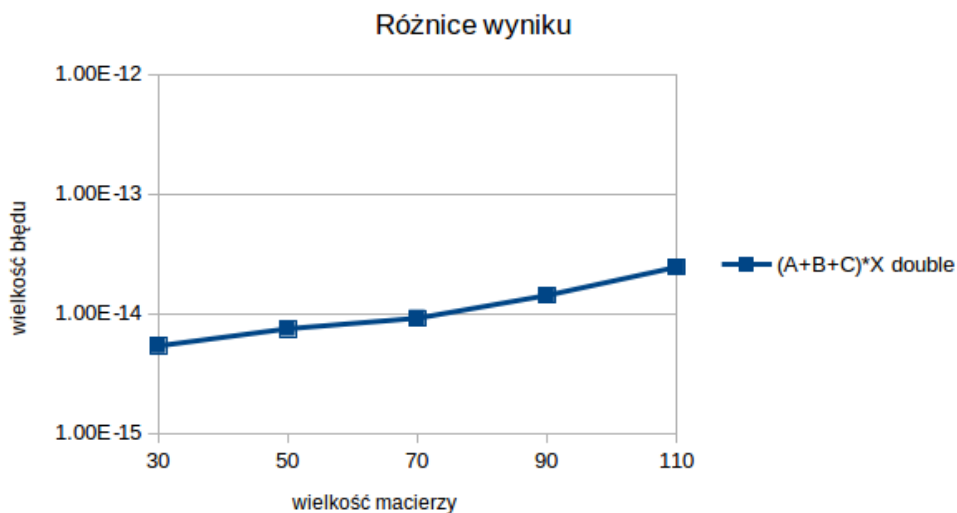
Różnice w wyliczeniach będą związane głównie z utratą precyzji przez typy, double i jeszcze mniejsze float, które po prostu „żadają” ostatnie cyfry co w późniejszym rozrachunku ma wpływ na wynik. Udało się temu zapobiec i uzyskać nieskończenie duże rozwinięcie ułamka, tworząc go. Poniższy screen przedstawia utworzone liczby przy wyliczaniu równania za pomocą Gausse Partial Pivoting dla macierzy 30x30.

```
-394484417213832430931670781749105382453500780554007409146489/1464558658137223005375011092850295585632209943507864704134529
3812540865542003648965833533141091186498830307660563077621/1464558658137223005375011092850295585632209943507864704134529
1102857318710519137165163752652089905498783122571442372088477/1464558658137223005375011092850295585632209943507864704134529
410343045743059563358469411132377824468577133094048169740954/1464558658137223005375011092850295585632209943507864704134529
-172454195692503607060614777399462827301695037656576514008575/1464558658137223005375011092850295585632209943507864704134529
173788459312489202079102393434838127619876119889807308887441/1464558658137223005375011092850295585632209943507864704134529
564094024385572272532044261238572729054548144893040975271481/1464558658137223005375011092850295585632209943507864704134529
-318279150064629229817425693899380547115187630201055028965484/1464558658137223005375011092850295585632209943507864704134529
1673809108933951938177457879021386035672933388383531294817503/1464558658137223005375011092850295585632209943507864704134529
636091543073518641896231204413513902203393051845868510722899/1464558658137223005375011092850295585632209943507864704134529
-107508962258920946107034457210550517453306660542511801494997/1464558658137223005375011092850295585632209943507864704134529
664746734486200844199600135683224713620340320584997168342986/1464558658137223005375011092850295585632209943507864704134529
704477335668254359949221217641453050472783994794648209698418/1464558658137223005375011092850295585632209943507864704134529
-1692977564073025698093753675036402219974844766439556775805064/1464558658137223005375011092850295585632209943507864704134529
212572086089083033465482089413089242913287280679224946386680/1464558658137223005375011092850295585632209943507864704134529
-628043911326303506269720015400696401875262018601701356924517/1464558658137223005375011092850295585632209943507864704134529
-279605390791441808597345384195747704959410346473970685780284/1464558658137223005375011092850295585632209943507864704134529
-313548840290272561501705419233398536181011591504091007670567/1464558658137223005375011092850295585632209943507864704134529
-259164992040201295338018387918948025659083836787298838596753/1464558658137223005375011092850295585632209943507864704134529
1134996325543922168133937144863344069194918938841722750568251/1464558658137223005375011092850295585632209943507864704134529
-134131116305710882774572817373081548889047268088819722348929/1464558658137223005375011092850295585632209943507864704134529
-1287334505396754066853812744562918967891719223613747922077633/1464558658137223005375011092850295585632209943507864704134529
898309790552230745957104421793315510628943885678817431540077/1464558658137223005375011092850295585632209943507864704134529
302902894048827507194436497918108621436097267711033611430539/1464558658137223005375011092850295585632209943507864704134529
458831096711770679027721684861340870829353771868377459689382/1464558658137223005375011092850295585632209943507864704134529
784423852722158408459854998035498842787137184379298736964518/1464558658137223005375011092850295585632209943507864704134529
79265748250232918164777929281923301859782908693802998977212/1464558658137223005375011092850295585632209943507864704134529
195057358117885498513810684282380363416664912552201779252052/1464558658137223005375011092850295585632209943507864704134529
-1857807819793570223363085074388013560241307042701148173635058/1464558658137223005375011092850295585632209943507864704134529
-720248273014324958557128416031550169187718476280776920603432/1464558658137223005375011092850295585632209943507864704134529
```

Poniższe wykresy przedstawiają różnice w wynikach z wynikami uzyskanymi w bibliotece C++, EIGEN.



Jak widać na załączonym wykresie, błąd osiągnęto w granicach dokładności zmiennych, dla polepszenia jakości wykresów w następnych przedstawiałem wyłącznie zmienną double.



Podsumowując, biblioteka Eigen umożliwia bardzo szybkie obliczanie macierzy, przy stosunkowo bardzo dużej precyzji. Jeżeli jednak zależy nam na bardzo dużej dokładności lecz kosztem czasu, należy stworzyć własny typ ułamkowy.